## Ca<sub>3</sub>TaGa<sub>3</sub>Si<sub>2</sub>O<sub>14</sub>圧電単結晶上の高安定ラブ波型 SH 波

Highly Stable Shear-Horizontal SAW on Ca<sub>3</sub>TaGa<sub>3</sub>Si<sub>2</sub>O<sub>14</sub> Piezoelectric Single Crystal

 $^{\circ}(M1)$ 鈴木 涼人  $^1$ ,鈴木 雅視  $^1$ ,垣尾 省司  $^1$ ,木村 悟利  $^2$   $^{(1}$ 山梨大, $^2$ Piezo Studio)

°Ryoto Suzuki <sup>1</sup>, Masashi Suzuki <sup>1</sup>, Shoji Kakio <sup>1</sup>, and Noritoshi Kimura <sup>2</sup> (<sup>1</sup>University of Yamanashi, <sup>2</sup>Piezo Studio Inc.) E-mail: g21te013@yamanashi.ac.jp

## 1. はじめに

近年の移動通信システムの急速な発展に伴い弾性表面波(SAW)フィルタの高性能化が要求されている. 前報では  $Ca_3TaGa_3Si_2O_14$ (CTGS)上に高密度な Au 膜だけでなく,通常の Al 膜ですだれ状電極(IDT)を作製してもラブ波型 Shear-Horizontal(SH)波の表面集中効果が得られることを実験的に明らかにした $\Box$ . 本報では,Al/CTGS(O°、 $\theta$ 、90°)上のラブ波型 SH 波の温度特性を含む共振特性を実験的に評価し,高安定なカット角と Al 規格化膜厚について検討した結果を報告する.

## 2. ラブ波型 SH 波の共振特性の評価

カット角 $\theta$ が 145°と 155°の CTGS 上に波長  $\lambda$ =12, 16  $\mu$ m の IDT(対数 N=100.5 or 150.5)と反射器( $N_R$ =100 本 or なし)から成る共振子パターンを AI 蒸着膜で作製した. AI の規格化膜厚  $h/\lambda$  は 0.072, 0.054 である. メタライゼーション比 a/p が 0.15~0.5(a:電極幅, p:ピッチ)のパターンを作製した. 共振特性( $\lambda$ =12  $\mu$ m, N=150.5,  $N_R$ =100)の測定より, $\theta$ =145°試料と 155°試料のアドミタンス比, 共振 Q はそれぞれ,60.5 dB,8,230 と 56.5 dB,8,210 であり,高 Q を示した. しかし,特に $\theta$ =145°試料において共振・反共振周波数付近に多くのリプルが観測された.

共振・反共振周波数の測定値から実効的電気機械結合係数  $K^2_{eff}$  を求めた. Fig. 1 に電極の  $h/\lambda$  に対する  $K^2_{eff}$  測定値を,無限周期構造における有限要素法によるシミュレーション結果と共に示す.  $\theta$ =134°の測定結果( $\lambda$ =6.4  $\mu$ m)<sup>[1]</sup>も図中に示す.  $K^2_{eff}$  測定値はいずれもシミュレート値の 5~6 割程度であるが,a/p が大きいものほど  $K^2_{eff}$  が高い傾向が見られた. ラブ波型 SH 波の表面集中に寄与する電極指幅の減少により  $K^2_{eff}$  が低下すると考えられる.

Fig. 2 に $\theta$ =155°試料における温度に対する共振周波数の変化率の例を示す.  $h/\lambda$ =0.072, a/p=0.4 では、55°C を頂点温度とする放物特性と 20~80°C で 46 ppm の周波数変化率を示し、高安定な特性が得られた. Fig. 3 に Al 規格化膜厚に対する TCF 測定値(基準温度 30°C におけるフィッティング曲線の勾配)を理論値と共に示す.  $\theta$ =134°の 別定結果 $\square$  も図中に示す.  $\theta$ =134°の TCF 測定値は理論値とほぼ一致したが、 $\theta$ =155°の TCF 測定値は理論値よりも正にシフトした. 今後は常温で頂点温度を示す条件を検討する.

**謝辞** 本研究は JST A-STEP トライアウトの支援を受けている.

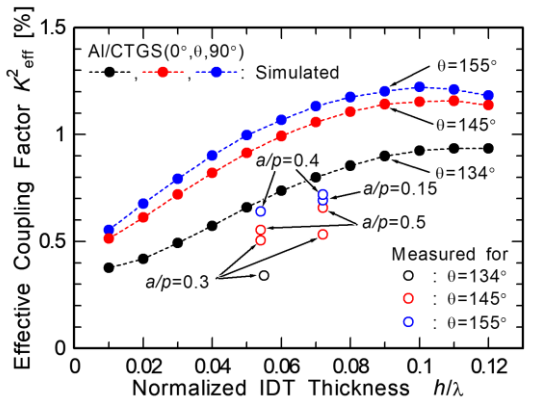


Fig. 1 Normalized IDT thickness dependences of measured and simulated values of  $K^2_{\text{eff}}$ .

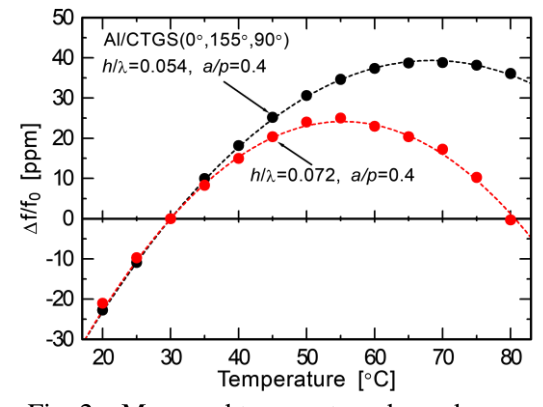


Fig. 2 Measured temperature dependences of resonance frequency.

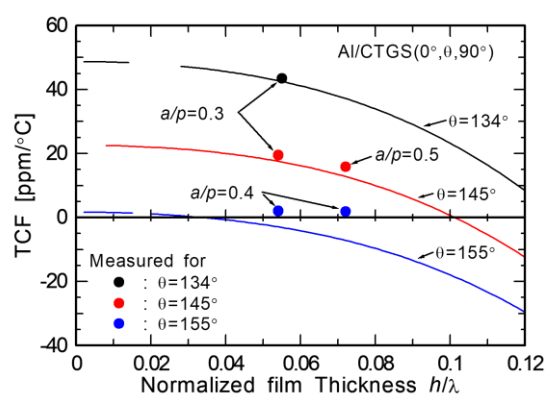


Fig. 3 Normalized film thickness dependences of measured and calculated values of TCF.

## 参考文献

[1] 鈴木, 他, 第 82 回応物, 11p-S401-14 (2021).